

Rappels

- Paramétrisation orthogonale : $p_u p_v = 0 = F$
- Intégrale de surface $f : S \rightarrow \mathbb{R}$

$$\iint_{p(u)} f(x) dS := \iint_u f(u, v) \|p_u \times p_v\| du dv = \iint_U f(u, v) \sqrt{EG - F^2} du dv$$

—

$$\varphi_{12} := (\nabla_{\alpha'} e_1) \cdot e_2$$

où $e_1 = \frac{p_u}{\sqrt{E}}$, $e_2 = \frac{p_v}{\sqrt{G}}$ "Rotation de e_1 e_2 le long de α "

- α courbe fermée borant R

$$\Rightarrow \int_{\alpha} \varphi_{12} ds = - \iint_R \kappa dS$$

- Si $\alpha'(s) = T(s) = \cos \theta e_1 + \sin \theta e_2$ alors

$$\underbrace{k_g}_{\text{Courbure de } \alpha \text{ intrinsèque à la surface}} = \underbrace{\varphi_{12}}_{\text{Rotation du repère } e_1, e_2} + \underbrace{\theta'}_{\text{rotation de } \alpha' \text{ dans le repère } e_1, e_2}$$

"Umlanfsatz" sur une surface : Si α est une courbe simple fermée contractible sur S alors

$$\int_0^L \theta' ds = 2\pi$$

Contractible P qui peut être "remplie" par/borne un disque

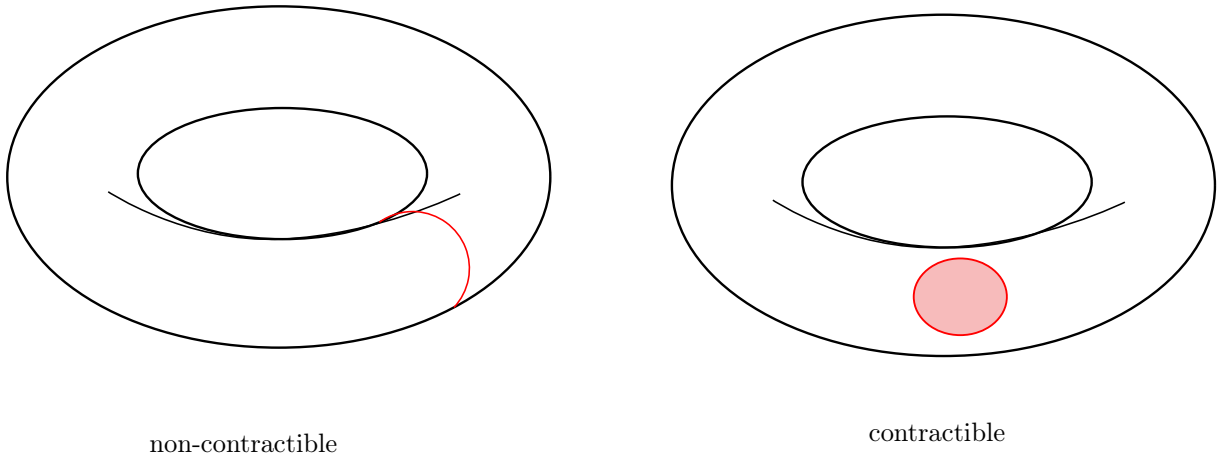


FIGURE 1 – Contractible vs non-contractible

"Dém" : La quantité \int_0^L est toujours une mutiple de 2π (On commence et finit par le même vecteur). C'est une fonction continue de la courbe α

Version "avec des coins"

Si α est lisse par morceaux

$$\int_0^L = 2\pi = \sum \epsilon_k$$

avec ϵ_k les angles exterieurs de α

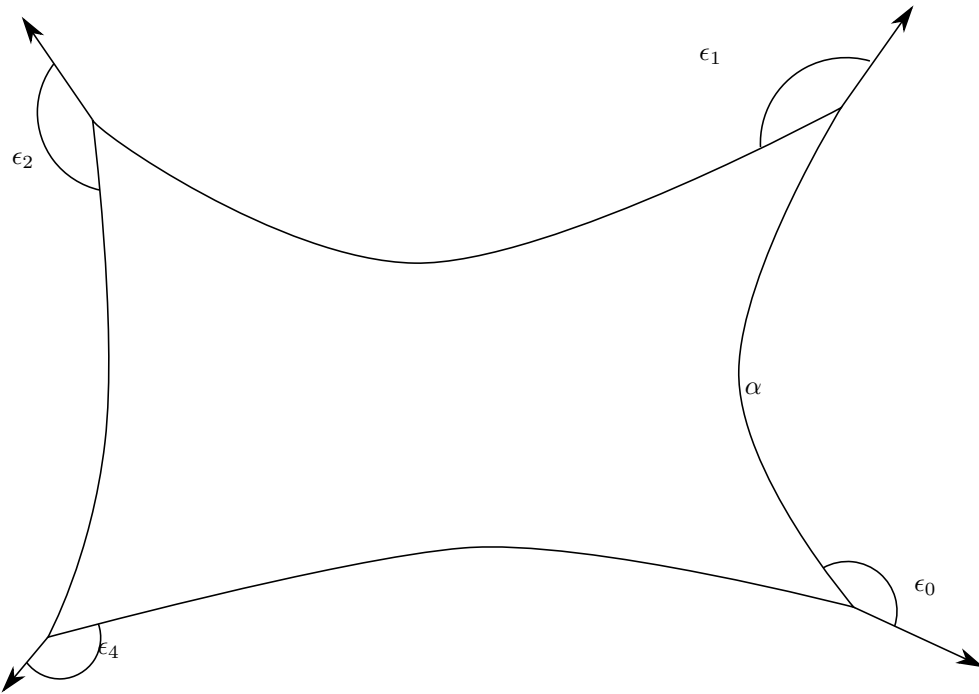


FIGURE 2 – Umlanfsatz sur une surface avec des coins

ϵ_k : l'angle entre le vecteur tangeant entrant et le vecteur sortant au sommet de k

Théorème de Gauss-Bonnet local : Soit α une courbe lisse par morceaux fermées, simples ???, contractible, bornant R dans la surface S . Alors

$$\iint_R \kappa dS + \int_\alpha \kappa_g ds + \sum \epsilon_k = 2\pi$$

Démonstration : On a montré

$$\iint_R \kappa dS = -S_\alpha \varphi_{12} ds = - \int_\alpha \kappa_g - \theta' ds = - \int_\alpha \kappa_g + \int \theta' ds = -\kappa_g dS + 2\pi - \sum \epsilon_k \quad \blacksquare$$

Exemple : Dans le plan ou sur un cylindre :

$$\Rightarrow \int_{\alpha} \kappa_g ds + \sum \epsilon_k = 2\pi$$

Si

$$\kappa_g = 0 \text{ (cotées sont des géodésiques)}$$

$$\sum \epsilon_f = 2\pi$$

Si α est lisse

$$\int_{\alpha} \kappa_g ds = 2\pi$$

: Umlaufstax

Exemple 2 : Sur S^2 $\kappa = 1$

Cercle de latitude φ_0

$$k_g = \cot \varphi_0$$

$$\iint_R \kappa dS = \int_0^{2\pi} \int_0^{\varphi_0} \cos \varphi d\varphi d\theta = \dots = 2\pi$$

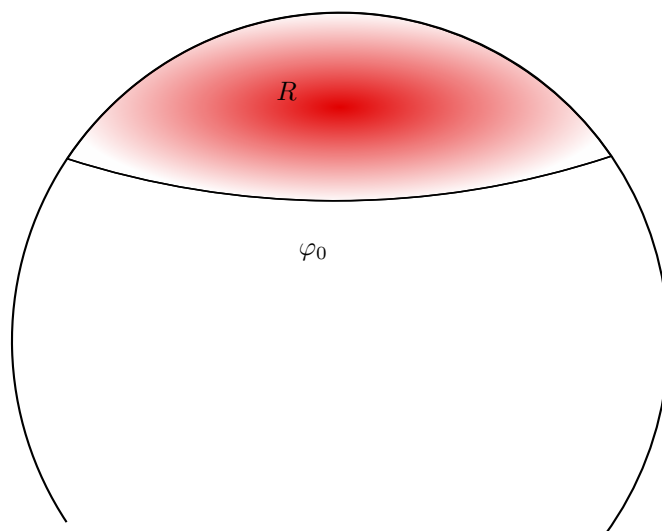


FIGURE 3 – Théorème de Gauss-Bonnet sur la sphère unitée

Cela doit être vrai pour n'importe quel surface qu'on a déformé continuellement. (α reste contractible)

$$\iint \kappa dS + \int_{\alpha} \kappa_g ds = 2\pi$$

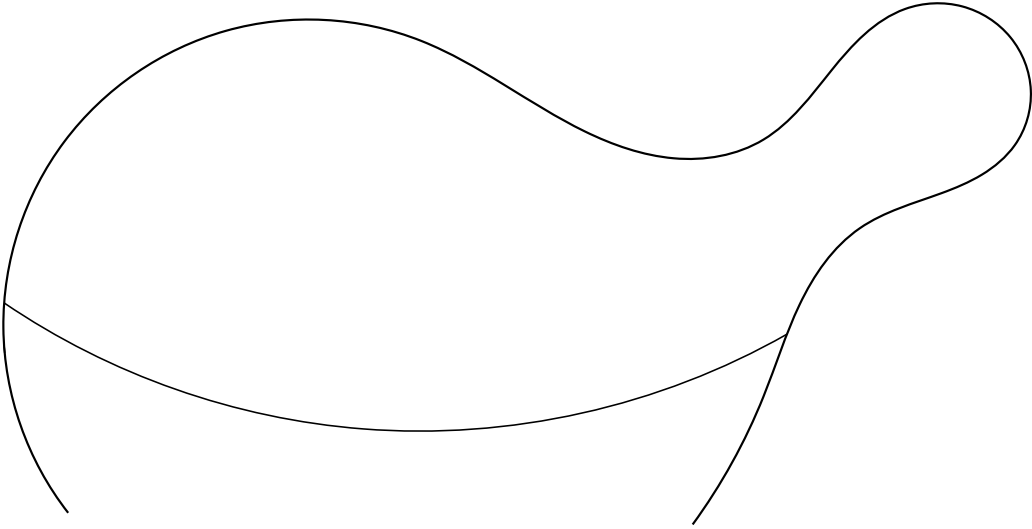


FIGURE 4 – sphère avec un pustule

Corrolaire : si $\theta_1, \theta_2, \theta_3$ sont les angles intérieurs d'un triangle géodésique T dans S_1 alors

$$\int_T \kappa ds = -\pi + \sum_i^3 \theta_i$$

Démonstration :

Comme les côtés sont géodésiques $k_g = 0$ sur les côtés.

$$\Rightarrow \iint_T \kappa dS + \epsilon_1 + \epsilon_2 + \epsilon_3 = 2\pi$$

$$\Rightarrow \iint_T \kappa dS + 3\pi - \theta_1 - \theta_2 - \theta_3 = 2\pi$$

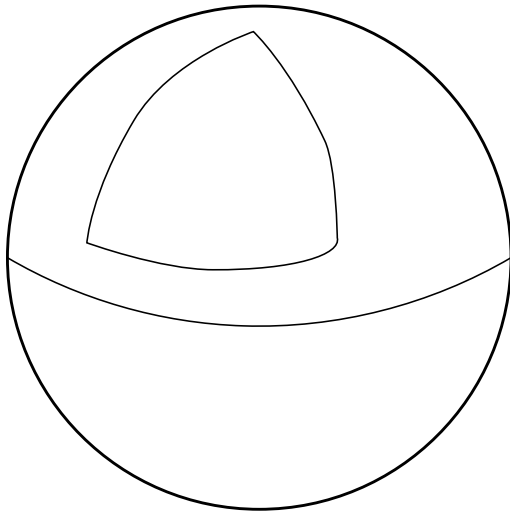
$$\Rightarrow \iint_T \kappa dS = \theta_1 + \theta_2 + \theta_3 - \pi \quad \blacksquare$$

Courbure positive :

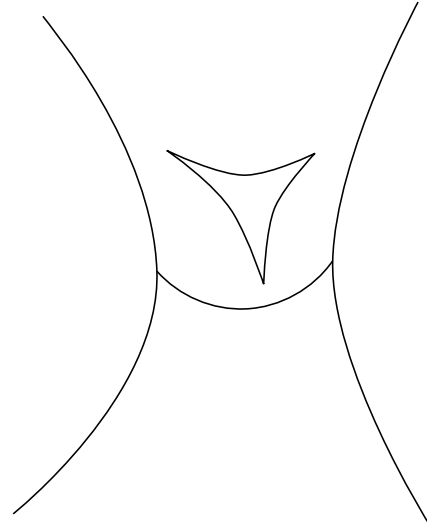
$$\sum_i^3 \theta_i = \pi \iint_T \kappa dS > \pi$$

Courbure négative

$$\sum_i^3 \theta_i = \pi \iint_T \kappa dS - \pi$$



courbure positive



courbure négative

FIGURE 5 – Trinagle sur surface courbées

Caractéristique d'Euler d'une surface :

Une trinangulation d'une surface est formée par une collection de triangles (image d'un triangle dans le plan par p)

- 2 triangles se rencontrent en un coté ou rien
- Les trinagles recouvrent la sruface
- Chaque triangle a au plus 1 côté sur le bord de la surface

La caractéristique d'Euler d'une triangulation T d'une surface S est $\chi(s, \tau) = V - E + F$

Par exemple, la caractéristique d'Euler d'un triangle est $\chi(\Delta) = 3 - 3 + 1 = 1$

Théorème de Gauss-Bonnet (Global)

$$\iint_S \kappa dS + \int_{\partial S} \kappa_g ds + \sum \epsilon_k = 2\pi \chi(s)$$

Corollaire : Pour une surface sans bord ($\partial S = \emptyset$)

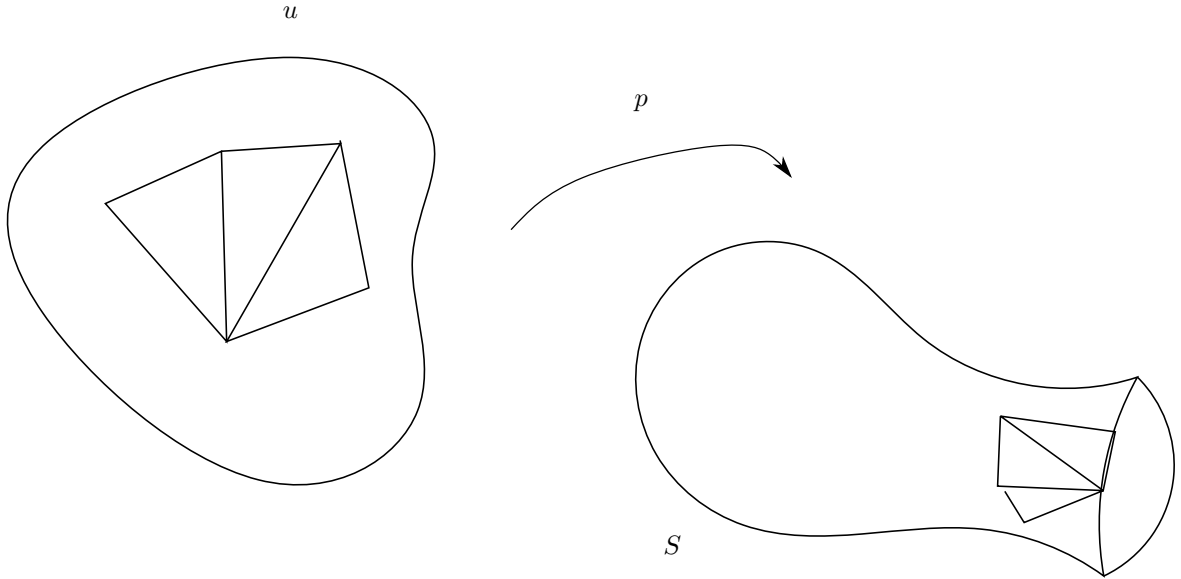


FIGURE 6 – Triangulation d'une surface

$$\iint_S \kappa dS = 2\pi \chi(s)$$

Démonstration : Pour chaque triangle \triangle de la triangulation τ , on applique le théorème local

$$\iint_{\triangle} \kappa dS = \int_{\partial S} \kappa_g ds + \sum \epsilon_k^{\triangle} = 2\pi$$

et on fait la somme sur les F triangles

$$\iint_S \kappa dS + \underbrace{\sum_{\triangle \in \tau} \int_{\partial \tau} \kappa_g ds}_{\text{S'annulent en paires}} + \sum_{\triangle \in \tau} \sum_k^3 \epsilon_k^{\triangle} = 2\pi F$$

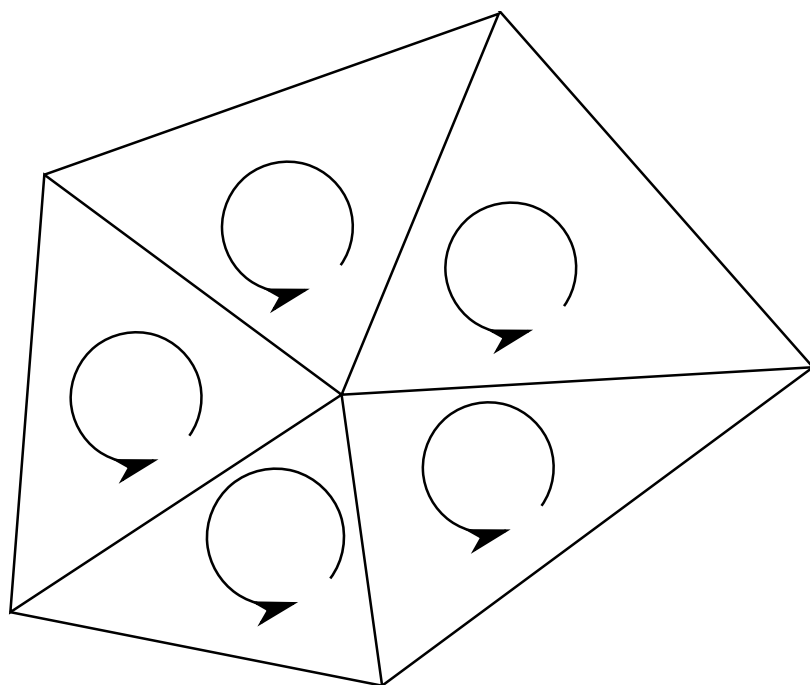


FIGURE 7 – Circulation des triangles